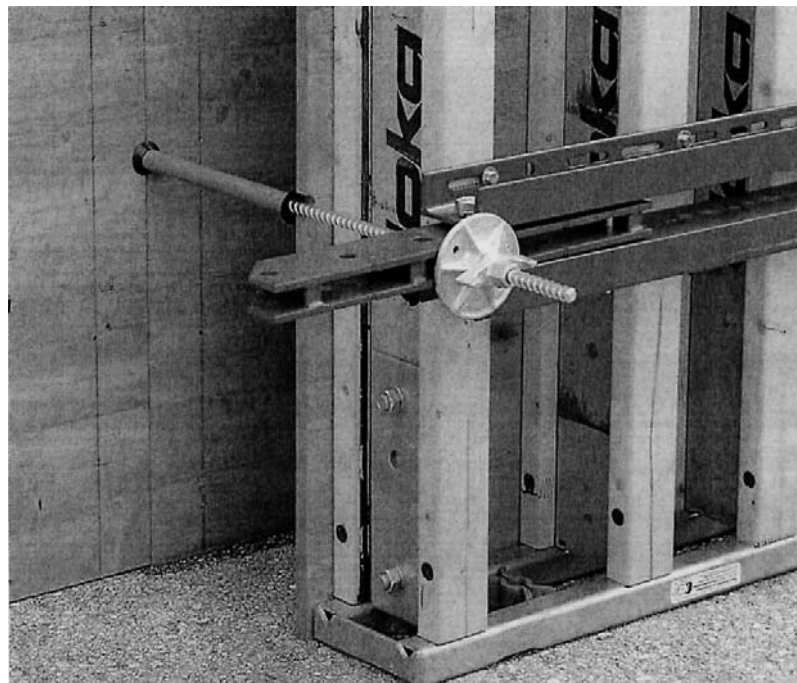


### 3. vaja: PRITISK SVEŽEGA BETONA – DIMENZIONIRANJE LESENEGA OPAŽA OPORNEGA ZIDU



#### 1. PRITISK SVEŽEGA BETONA NA OPAŽ

Pritisk je odvisen od velikega števila naključnih parametrov, vendar se problem bistveno poenostavi, če za osnovne parametre upoštevamo le:

- konsistenco oziroma reološke lastnosti svežega betona,
- karakteristike opaža,
- višino elementa, ki se betonira,
- hitrost polnjenja opaža s svežim betonom.

Potemtakem se navpični oziroma vodoravni pritisk na opaž definira s sledečima izrazoma:

$$p_v = \gamma_{b,sv} \cdot h_{max}$$

$p_v$  ... navpični pritisk svežega betona na opaž v  $[kN/m^2]$ ,

$\gamma_{b,sv}$  ... prostorninska masa svežega betona v  $[kN/m^3]$ ,

$h_{max}$  ... največja višina vgrajenega svežega betona v [m]

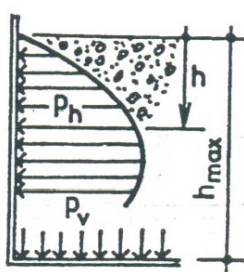
$$p_h = p_h(\gamma_{b,sv}, \varphi, h, v)$$

$p_h$  ... vodoravni pritisk svežega betona na opaž,

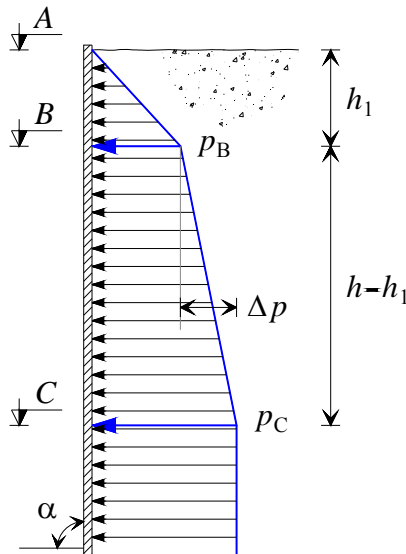
$\varphi$  ... kot notranjega trenja svežega betona,

$h$  ... višina vgrajenega svežega betona,

$v$  ... hitrost betoniranja



### 1.1 Vodoravni pritiski:



$A$  ... zgornja površina svežega betona,  
 $B$  ... površina, do katere se izvajajo procesi kompaktiranja betona,  
 $C$  ... zgornja površina vezanega betona  
 plastično stanje → stanje vezanega materiala (2-6 ur)  
 $h_1$  ... predstavlja globino betona, ki se vgrajuje in v okviru katere potekajo procesi kompaktiranja (vibriranje) – največ 1 m,  
 $h - h_1$  ... vgrajeni beton izven delovanja vibratorja,  
 $\alpha$  ... kot nagiba opaž glede na horizontalno ravno

Vpliv debeline elementa, velikosti in oblike prečnega prereza je v računu zanemarjen!

$$p_B = \gamma_{b,sv} \cdot h_1$$

$p_B$  ... vodoravni pritisk svežega betona na opaž na koti  $B$  v  $[kN/m^2]$

$$p_C = p_B + \Delta p = p_B + \gamma_{b,sv} [(h - h_1)d_p] \sin \alpha$$

$p_C$  ... vodoravni pritisk svežega betona na opaž na koti  $C$  v  $[kN/m^2]$

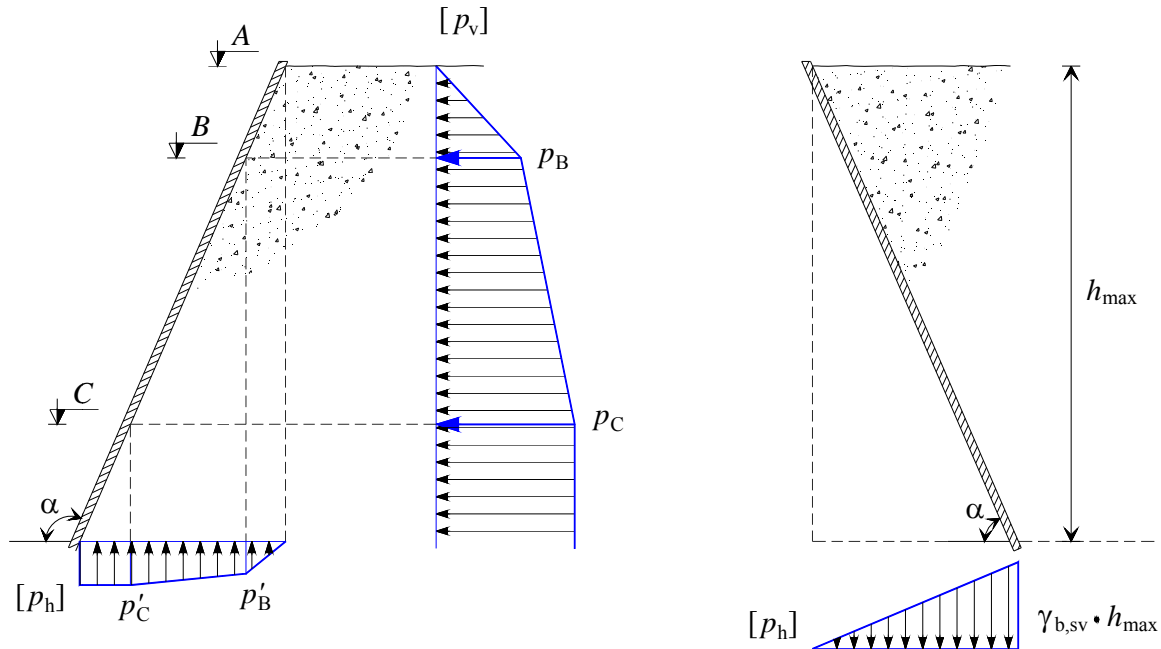
$d_p$  ... koeficient pritiska betona na opaž

Vrednosti za  $d_p$ :

kot trenja med betonom in opažem	$\varphi = 20^\circ$ (uliti beton, ki se ne more več zbijati)	$\varphi = 30^\circ$ (plastični beton)	$\varphi = 50^\circ$ (naknadno vibrirani beton)
$\beta = 25^\circ$ (grobo obdelana deska)	0.42	0.3	0.13
$\beta = 18^\circ$ (opaž iz furniranega lesa)	0.43	0.3	0.13
$\beta = 16^\circ$ (gladek opaž, opaž premazan s slojem sintetične smole)	0.44	0.3	0.13

(vir: Mihailo Muravljev: "Osnovi teorije i tehnologije betona")

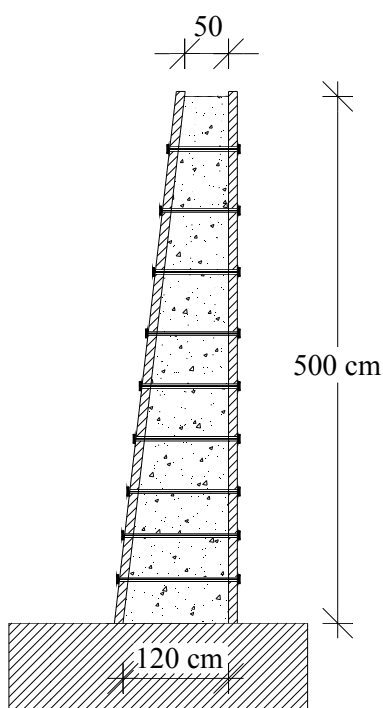
## 1.2 Navpični pritiski:



$$p'_B = p_B \cdot \tan(\alpha - 90^\circ) \quad , \quad p'_C = p_C \cdot \tan(\alpha - 90^\circ)$$

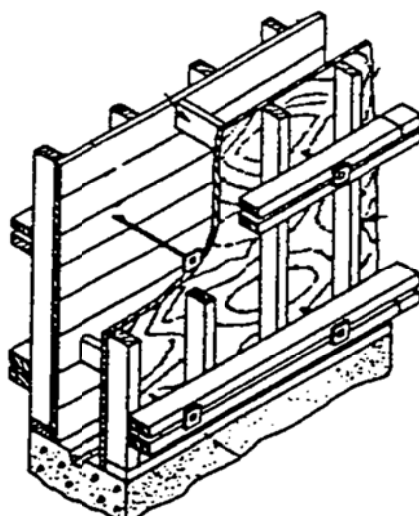
$p'_B, p'_C \dots$  navpični pritisk svežega betona na opaž na koti  $B$  in  $C$  v  $[kN/m^2]$

## 2. RAČUNSKI PRIMER



Uporabljeni materiali:

- sveži beton (plastična konsistenza),  $\gamma =$  kN/m<sup>3</sup>
- jeklena sidra: vijaki 4.8,  $f_{yb}/f_{ub} = 32/40$  kN/cm<sup>2</sup>
- opaž, gredice: homogen les C24 (S) - obt. do 1 tedna  
 $f_{mk} = 2.4$  kN/cm<sup>2</sup>  
 $f_{vk} = 0.25$  kN/cm<sup>2</sup>  
 $E_{0,mean} = 1100$  kN/cm<sup>2</sup>
- opaž iz furniranega lesa (27 mm)!



## 2.1 Vodoravni pritisk na opaž:

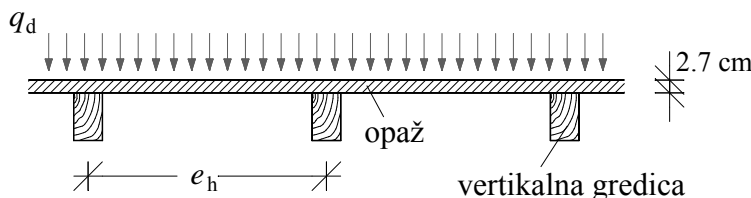
Pritisk v točki  $B$  in  $C$ :

$$p_B = \gamma_{b,sv} \cdot h_1 =$$

$$p_C = p_B + (h - h_1) \gamma_{b,sv} d_p \sin \alpha =$$

## 2.2 Dimenzioniranje opaža – določitev vodoravnega razmaka med navpičnimi gredicami:

Razmak med navpičnimi gredicami označimo z  $e_h$ :



Računski model (vrišite podpore):



- normalne napetosti:  $\sigma_{m,d} \leq f_{m,d}$

$$\sigma_{m,d} = \frac{M_d}{W}, \quad M_d \approx \frac{q_d e_h^2}{10}$$

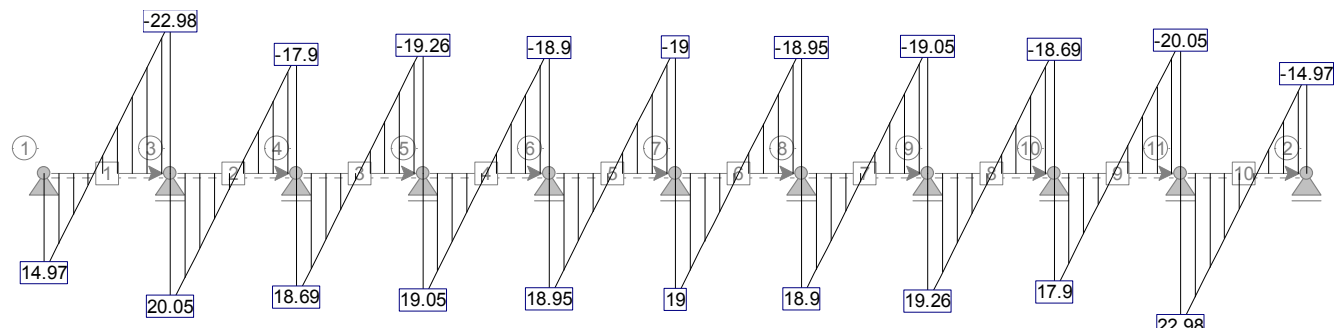
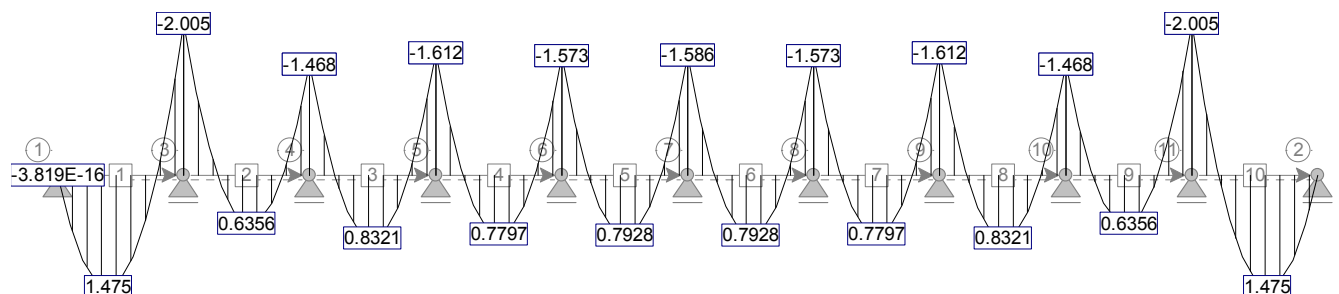
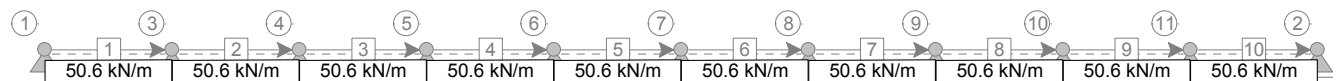
- strižne napetosti:  $\tau_{v,d} \leq f_{v,d}$

$$\tau_{v,d} = \frac{V_d \cdot S}{b \cdot I}$$

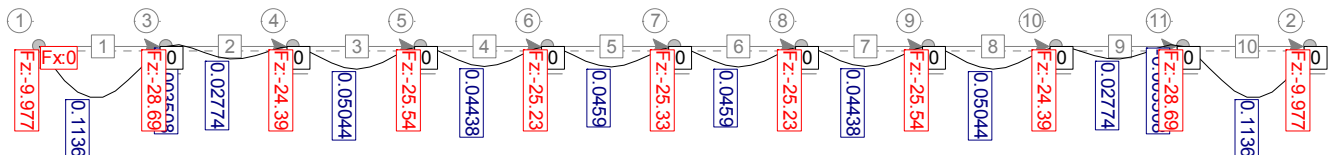
- povesi: - trenutni pomik ( $u_{inst}$ ) zaradi spremenljive obtežbe:  
 $u_{2,inst} \leq 1/500 e_h$

$$u_{2,inst} \approx \frac{q e_h^4}{384 E_{0,mean} I}$$

Upogibni moment [v KNm] in prečna sila [v kN] v opažu za linijsko obtežbo  $q_{d,MSN} = \gamma_q \cdot 50.6 \text{ kN/m}$  ( $e_h = \dots \text{ m}$ ):

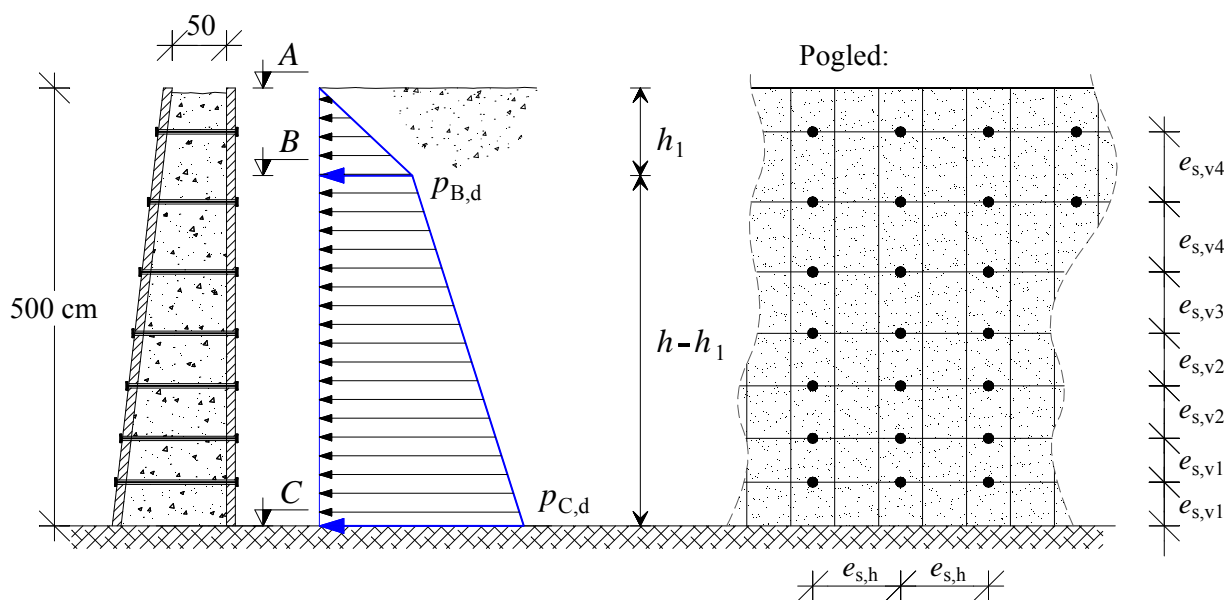
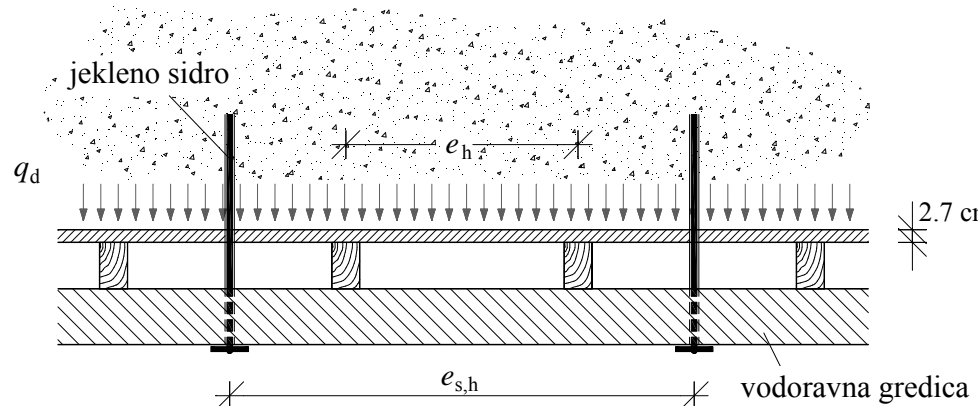


Pomiki opaža [v cm] za linijsko obtežbo  $q_{d,MSU} = 50.6 \text{ kN/m}$  ( $e_h = \text{m}$ ):



### 2.3 Dimenzioniranje sider – določitev vodoravnega in navpičnega razmaka jeklenih sider:

Vodoravni razmak med sidri označimo z  $e_{s,h}$ , navpičnega pa z  $e_{s,v}$ :



$$F_{t,Sd} \leq F_{t,Rd}$$

$F_{t,Sd}$  ... projektna natezna obremenitev posameznega vijaka [v kN]

$$F_{t,Sd} = q_d \cdot e_{s,h} \cdot e_{s,v}$$

$F_{t,Rd}$  ... projektna natezna nosilnost posameznega vijaka [v kN]

$$F_{t,Rd} = \frac{0.9 \cdot f_{ub} \cdot A_s}{\gamma_{Mb}}$$

$f_{ub}$  ... natezna trdnost vijaka

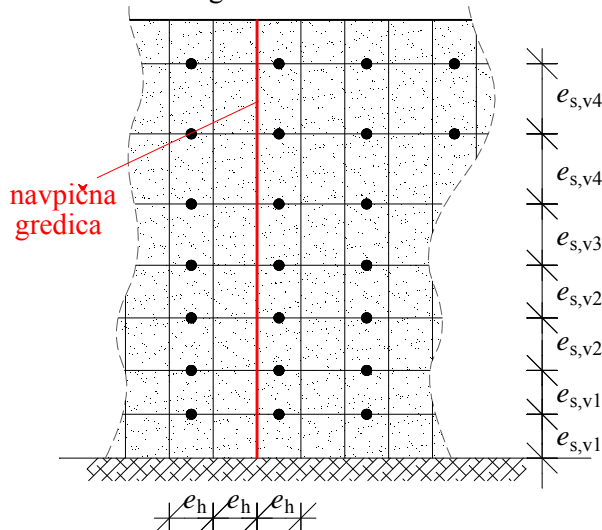
$A_s$  ... računski (neto) presek vijaka v območju navojev

$$(d = 16 \text{ mm}, A_s = 1.57 \text{ cm}^2)$$

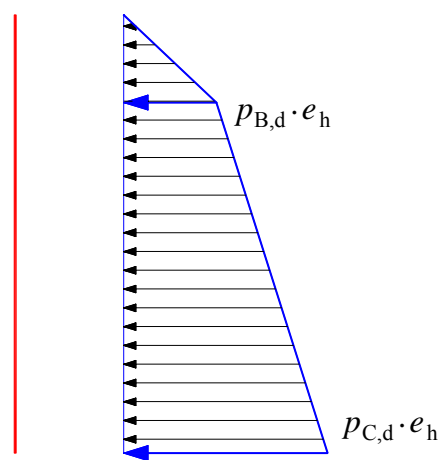
$\gamma_{Mb}$  ... varnostni faktor materiala (=1.25)

## 2.4 Dimenzioniranje navpične gredice:

Pogled:



Računski model (vrišite podpore):



- normalne napetosti:  $\sigma_{m,d} \leq f_{m,d}$

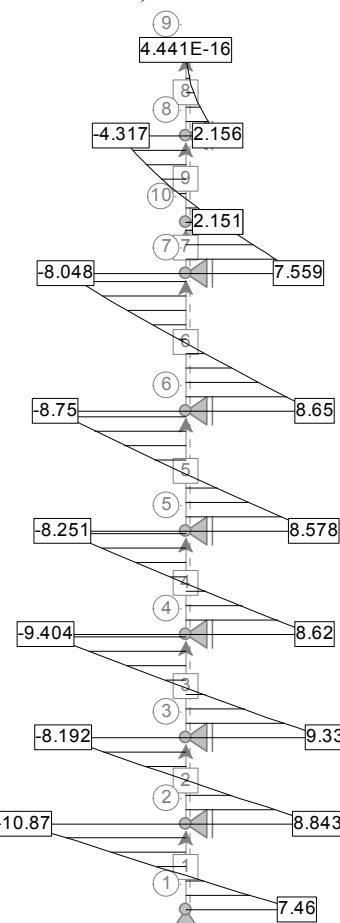
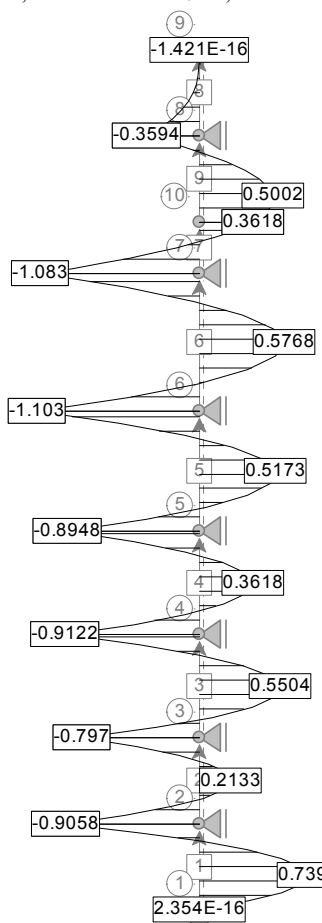
$$\sigma_{m,d} = \frac{M_d}{W}, \quad M_d \approx \frac{q_d e_h e_{v,s}^2}{10}$$

- strižne napetosti:  $\tau_{v,d} \leq f_{v,d}$

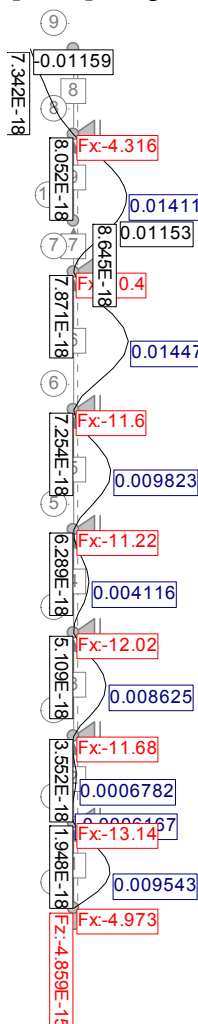
$$\tau_{v,d} = \frac{V_d \cdot S}{b \cdot I}$$

Upogibni moment [v kNm] in prečna sila [v kN] v navpični gredici za MSN

( $e_{s,v1} = m, e_{s,v2} = m, e_{s,v3} = m, e_{s,v4} = m$ ):

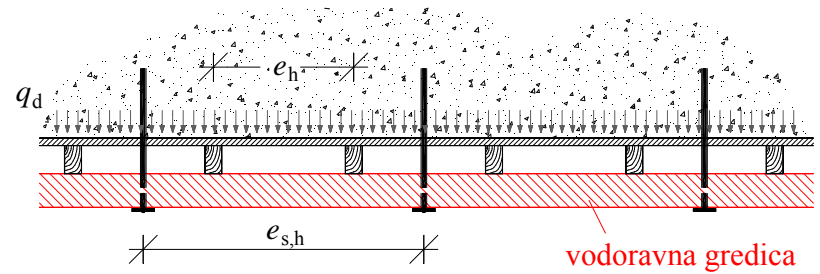
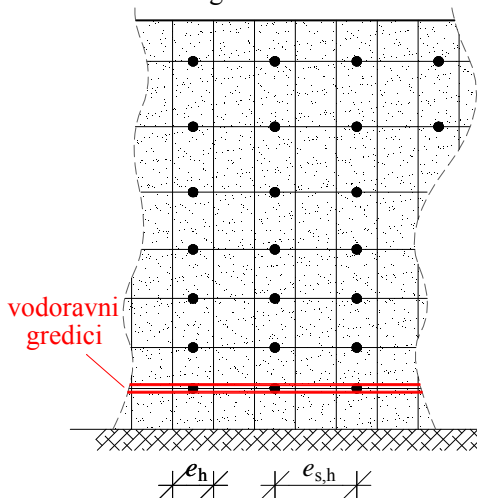


Pomiki [v cm] navpične gredice za MSU ( $I_{\text{ref}} = 1000 \text{ cm}^4$ ):

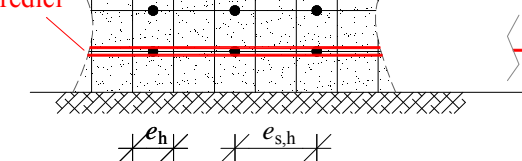


## 2.5 Dimenzioniranje vodoravne gredice:

Pogled:



Računski model (vrišite podpore in obtežbo):



- normalne napetosti:  $\sigma_{m,d} \leq f_{m,d}$

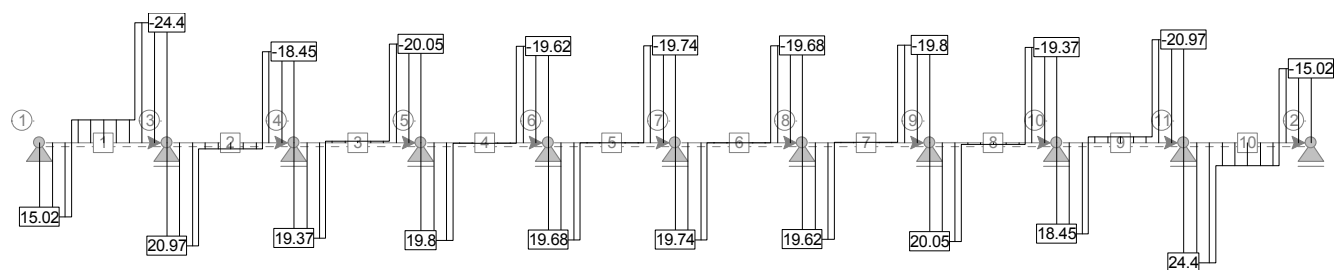
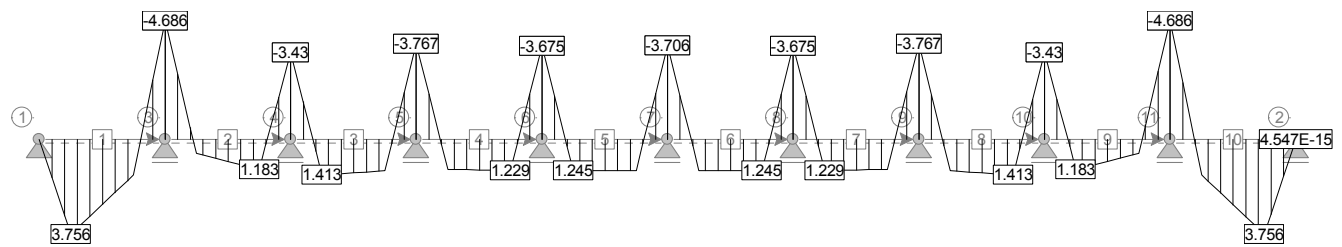
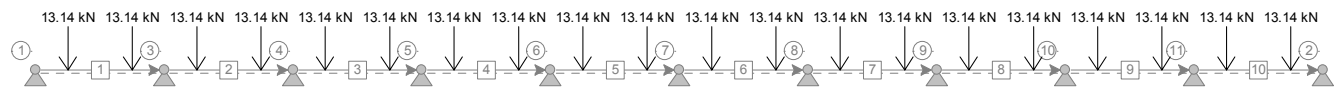
$$\sigma_{m,d} = \frac{M_d}{W}$$

- strižne napetosti:  $\tau_{v,d} \leq f_{v,d}$

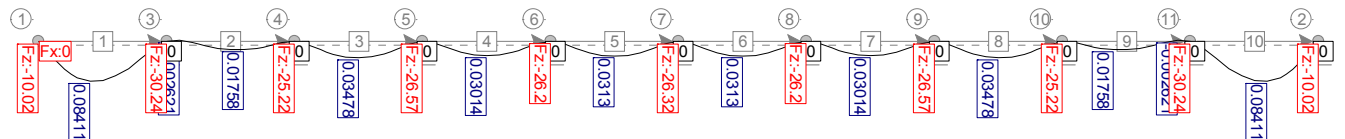
$$\tau_{v,d} = \frac{V_d \cdot S}{b \cdot I}$$

Upogibni moment [v kNm] in prečna sila [v kN] v vodoravni gredici za točkovne sile

$P_d = \gamma_q \cdot 13.14 \text{ kN}$  ( $e_{s,h} = \text{ m}$ ):



Pomiki [v cm] vodoravne gredice za MSU ( $I_{\text{ref}} = 2000 \text{ cm}^4$ ):



## 2.6 Navpični pritisk na opaž: